

N、F 共掺杂可见光响应介孔 TiO_2 光催化剂： 纤维素模板剂合成及活性

陈孝云^{*、1} 陆东芳² 卢燕凤¹

(¹ 福建农林大学材料工程学院, 福州 350002)

(² 福建农林大学园林学院, 福州 350002)

摘要：以纤维素为模板剂, TiCl_4 为钛源, 采用液相水解-沉淀法制备了浅黄色的 N、F 共掺杂可见光响应介孔 TiO_2 催化剂 (TiONF)。以苯酚为模型物, 考察了 TiONF 在紫外光区、可见光区及太阳光下催化活性; 采用 X 射线光电子能谱(XPS)、傅里叶变换红外(FTIR)、紫外-可见漫反射光谱(UV-Vis DRS)、X 射线衍射(XRD)、热重/量热扫描(TG/DSC)、透射电镜(TEM)及低温 N_2 物理吸附-脱附等技术对 TiONF 催化剂的结构进行了表征。结果表明, 以纤维素为模板剂合成适量 N、F 共掺杂的 TiONF 催化剂在紫外光区、可见光区及太阳光下均表现出较高的活性, 且高于无模板剂合成的 TiONF 催化剂的活性。N、F 共掺杂提高了 TiO_2 表面羟基数量和锐钛矿相 TiO_2 向金红石相转变的温度; N 掺杂形成新的能级结构, 诱发 TiO_2 可见光催化活性; F 掺杂促进 TiO_2 粒子表面氧空穴产生, 致使 TiO_2 粒子表面酸度和 Ti^{3+} 增加。另外, 纤维素的加入可减小 TiONF 颗粒平均尺寸, 改善催化剂分散性, 提高催化剂比表面积。

关键词： TiO_2 ; N-F 共掺杂; 纤维素; 模板剂; 光催化剂; 可见光

中图分类号：0643 文献标识码：A 文章编号：1001-4861(2012)12-2513-10

Mesoporous N-F Codoped TiO_2 Photocatalyst with Visible-Light Response: Preparation Using Cellulose Template and Catalytic Performance

CHEN Xiao-Yun^{*、1} LU Dong-Fang² LU Yan-Feng¹

(College of Material Engineering, Fujian Agriculture and Forestry University, Fuzhou 350002, China)

(College of Landscape Architecture, Fujian Agriculture and Forestry University, Fuzhou 350002, China)

Abstract: A yellow-colored and mesoporous N-F codoped TiO_2 photocatalyst (TiONF) with visible-light response was prepared by a hydrolysis-precipitation method using cellulose as the template and TiCl_4 as the precursor. The photocatalytic activity was evaluated through the photocatalytic degradation of phenol under ultraviolet (UV), artificial visible (Vis) and solar light irradiation, respectively. The catalysts were characterized by X-ray photoelectron spectroscopy (XPS), UV-Vis diffuse reflectance spectroscopy (UV-Vis DRS), X-ray diffraction (XRD), thermogravimetry-differential scanning calorimetry (TG/DSC), Fourier transform infrared spectroscopy (FTIR), transmission electron microscopy (TEM) and N_2 adsorption-desorption. The results show that the TiONF obtained by using the cellulose template with suitable N-F doping exhibits higher activity under UV, Vis and solar light irradiation than that obtained without the cellulose template. N-doping can form a new band-gap to extend the light response of TiO_2 to visible region, F-doping can promote generation of oxygen vacancies on the surface of TiO_2 , and can increase surface acidity and Ti^{3+} of TiO_2 . The addition of the cellulose template can reduce the average grain size and increase the specific area of TiONF.

Key words: TiO_2 ; N-F codoped; cellulose; template; photocatalyst; visible light

收稿日期: 2012-02-06。收修改稿日期: 2012-07-06。

国家自然科学基金(No.31000269); 福建省高等学校杰出青年科研人才培育计划(No.JA11072); 福建省教育厅基金(No.JA00121)资助项目。

*通讯联系人。E-mail:fjchenxy@126.com, Tel:13178389782

近年来利用 TiO_2 光催化氧化技术解决日益严重的水、空气、土壤等环境污染问题的研究发展非常迅速^[1-2]。但从应用角度看, 目前还存在问题: 光催化剂光谱响应范围<387 nm, 对太阳能利用率低^[3-4]; 以电驱动的紫外光源其电光转换效率低(<25%), 而大部分电能转化为热能转移出反应体系未被利用, 反应系统总能量利用率低^[5]; 常规 TiO_2 光催化剂的量子效率低; 光催化剂吸附性能较差, 活性偏低等大大限制了 TiO_2 光催化氧化技术产业化应用^[6]。因此, 研制太阳光响应光催化剂拓展其光谱响应范围(>387 nm), 增加光催化剂的比表面积, 提高光催化量子效率, 成为世界范围的研究热点^[7-8]。

近年来研究发现, N、S、F、C 等非金属离子掺杂在提高 TiO_2 可见光响应能力方面表现出较好的效果^[8-12]。但采用传统的方法所制得的非金属离子掺杂可见光响应 TiO_2 催化剂, 它在光催化活性、光吸收效率、吸附性能等方面还不甚理想^[13-14]。一些学者以纤维素为模板剂合成介孔材料, 利用纤维素在水溶液中能够分散成均匀的网状结构, 同时其表面含有大量的羟基能够参与反应生成晶核, 以引导晶粒自组装成具有一定形貌结构的材料^[15-16]。Wang 等^[17]利用甲基纤维素水凝胶的空间网络结构的特点, 制备了沸石分子筛的纳米粒子。张志腾等^[18]同样以甲基纤维素为模板剂, 通过调控硅酸四乙酯的水解的速率, 制备出孔径在 3~5 nm, 颗粒球形度与分散性较好的介孔 SiO_2 微球。曾威等^[19]以正硅酸乙酯为原料、细菌纤维素为模板制备了高产率、尺寸均匀、超大长径比、具有较稳定宏观形貌的 SiO_2 纳米管。Zhang 等^[20]以羧甲基纤维素和十六烷基三甲基溴化铵为双模板, 制备出了二维六方结构的 MCM-41 介孔分子筛, 这种分子筛具有更高稳定性且高度有序。Fryxell 等^[21-22]以硝酸纤维素和一系列阴离子表面活性剂为双模板, 制备了孔隙结构可调的介孔 SiO_2 , 这种材料具有很好的比表面积和孔径分布。Dujardin 等^[23]以具有高长/宽比和窄粒径分布的纳米微晶纤维素(NCC)为模板剂, 制备了孔结构分布统一的陶瓷材料。Zhou 等^[24]利用 NCC 作为形貌诱导剂制备出方形纳米 TiO_2 。李伟等^[25]以 NCC 为模板剂, 采用酸催化水解法制得规整球形结构的介孔 TiO_2 , 并认为 NCC 长链结构之间羟基键合所形成的狭小空间构成的微反应器, 可有效限制 TiO_2 前驱体的生长和团聚, 诱导其晶粒自组装成球形结构, 并抑制锐钛矿相向金红石相转变。本课题组以碱法纳

米纤维为模板剂制备了介孔 TiO_2 光催化剂, 该 TiO_2 具有良好的孔隙结构, 且比表面积大幅度提高; 在光催化降解苯酚时表现出较高的催化活性^[26]。由此可见, 以纤维素为模板剂制备介孔材料展现出良好的效果。

本工作以纤维素为模板剂, 采用液相水解-沉淀法制得浅黄色的 N、F 共掺杂可见光响应介孔 TiO_2 催化剂。采用 XPS、FTIR、UV-Vis DRS、XRD、TG/DSC、TEM 及低温 N_2 物理吸附-脱附等技术对催化剂进行表征, 系统研究了 N、F 共掺杂对 TiO_2 微观结构及光催化活性的影响。

1 实验部分

1.1 催化剂的制备

在恒温水浴(25 °C)和搅拌的条件下, 将 10 mL 的 TiCl_4 (AR, 阿拉丁)缓慢滴加到装有纤维素和蒸馏水混合溶液的三口烧瓶中, 以 200 $\text{r} \cdot \text{min}^{-1}$ 的速率搅拌 30 min 后, 升温至 80 °C 并保持 30 min, 再以浓 $\text{NH}_3 \cdot \text{H}_2\text{O}$ 调节溶液 pH=7, 继续反应 30 min。将固相产物于室温下陈化 10 h, 然后用蒸馏水洗涤, 洗至无 Cl^- 检出(滴加 0.1 mol·L⁻¹ 的 AgNO_3 无白色沉淀产生), 再用乙醇(AR, 阿拉丁)洗 2 次, 并转移到陶瓷坩埚, 加入一定量的氟化铵(AF)(AR, 阿拉丁)(控制 $n_{\text{Ti}}/n_{\text{AF}}=1:0.10, 1:0.25, 1:0.50$)和乙醇, 并在搅拌下反应 2 h, 室温下陈化 10 h, 85 °C 真空干燥, 研磨后移入坩埚反应器中, 以 10 °C·min⁻¹ 升温至指定温度并恒温焙烧 2 h, 即制得浅黄色的 TiONF 催化剂。在相同条件下不加纤维素模板剂制得 N、F 共掺杂 TiO_2 催化剂(标记为 TiONF-A); 对照样 TiO_2 在相同条件下不加氟化铵(AF)制得; 对照样 P-25 TiO_2 催化剂德国 Degussa 公司生产。

1.2 催化剂的表征

利用美国物理电子公司的 PHI5700 型光电子能谱仪测试 TiONF 的表面组成、化学态及元素含量, X 射线源采用 $\text{Al K}\alpha$ ($h\nu=1486.6$ eV)射线, 采用污染碳 C1s($E_a=284.62$ eV)作能量校正。利用紫外-可见漫反射光谱分析 TiONF 粉末的能隙结构以及对光的吸收性能, UV-Vis DRS 测试在装有积分球的 TU-1901 型紫外-可见分光光度计上进行, 以 BaSO_4 做参比。利用日本理学的 D/max-r B 型 X 射线衍射仪分析 TiONF 粉体晶型结构, 测定条件: 室温, 辐射源 $\text{Cu K}\alpha$ 射线($\lambda=0.15418$ nm), 靶电压 45 kV, 靶电流 40 mA, 扫描范围($2\theta=10^\circ \sim 90^\circ$), 步长

0.02°; 根据 Scherrer 公式计算晶粒平均尺寸。TG/DSC 分析在德国耐驰仪器公司的 STA-449 综合热分析仪上进行, 测定条件: 白金坩埚、加盖、空气气氛、升温速度 10 °C·min⁻¹、测试温度 30~1 000 °C。利用美国尼力高公司的 Nicolet-380 型傅立叶变换红外光谱仪研究 TiONF 界面变化情况, 采用 KBr 压片法。利用荷兰飞利浦公司的 TECANAI 10 型透射电子显微镜观察 TiONF 粒子形貌与大小, 制样方法: 将少量样品分散到乙醇中, 采用浸涂法将样品涂覆到碳膜铜网上。在北京彼奥德公司的 SSA4300 型孔隙及比表面积分析仪上进行 N₂ 吸附-脱附实验, 样品测试前在 200 °C 脱气 2 h, 按照 BET 方程计算 TiONF 比表面积; 根据 BJH 公式计算孔径分布。以甲基红为指示剂, 采用正丁胺滴定法测定 TiONF 真空干燥粉末的表面酸度^[27]。

1.3 催化剂的活性评价

光催化反应在自制石英/玻璃夹套式反应器(250 mL)中进行^[28], 石英/玻璃管内置 8 W 低压汞灯($\lambda_{ML}=365$ nm)为紫外光光源或 350 W 球型氙灯($\lambda_{ML}=500$ nm, 以玻璃滤光管滤去 $\lambda_{ML}<450$ nm 的光)为可见光光源, 向反应器外层夹套通入冷却水以使反应温度维持在(25±1) °C, 反应器外层以铝箔包覆, 以避免其它光干扰。光催化反应前避光磁力搅拌 30 min, 使 0.05 g·L⁻¹ 的苯酚水溶液在催化剂表面吸附达平衡, 并通入 80 mL·min⁻¹ 空气, 用来搅拌和补充溶解氧, 催化剂用量为 1.0 g·L⁻¹。每 20 min 取样 5 mL, 离心分离, 取上层清液以 TU-1901 型紫外-可见分光光度计于 270 nm 处测量吸光度, 根据郎伯-比尔定律计算苯酚浓度。

太阳光活性测试: 称 0.1 g 催化剂倒入直径为 15 cm 的平皿, 加入 0.05 g·L⁻¹ 的苯酚溶液 100 mL, 在磁力搅拌下吸附 30 min, 然后用保鲜膜封住平皿口, 放在太阳光下照射。日期 2011 年 8 月 20 日, 时间 9:00—15:30, 温度 26~38 °C。

2 结果与讨论

2.1 催化剂的 XPS 分析

图 1 为以纤维素为模板剂合成的 TiONF 前驱体经 600 °C 焙烧的 XPS 谱。图中出现了 Ti2p_{1/2}、

Ti2p_{3/2}、Ti2s、Ti3s、Ti3p、O1s、F1s、C1s 和 N1s 谱峰, 其中 C1s 为有机碳污染峰; 981.3 eV 和 1113.1 eV 的峰分别为 O 和 Ti 的俄歇电子峰; 从图 1(b) F1s 高分辨率 XPS 谱, 可以看出 TiONF 样品只有在 688.2 eV 的峰, 未出现 685.5 eV F 的吸附峰, 由此可见 F 通过化学键与 TiO₂ 相结合^[29]。由于 F 原子半径与 O 原子半径相当, 所以 F 原子易于取代 TiO₂ 晶格中的 O 原子而直接与 Ti 原子相连。O 空缺产生的电荷不平衡由 Ti⁴⁺ 离子价态的降低来补偿, 从而在 TiO₂ 的能隙间形成一个浅势, 从而诱发可见光催化活性^[30]。从图 1(c) N1s 的高分辨率 XPS 谱中, 可以看出 TiONF 样品在 401.8 eV 和 398.1 eV 出现 2 个峰, 其分别为吸附 N₂ 峰和晶格 N 峰。说明存在 Ti-N 结合键, N 进入 TiO₂ 晶格中, 形成可诱发可见光催化活性的窄带新能级^[31-33]。从图 1(d) Ti2p 的高分辨率 XPS 谱中, 可以看出纯 TiO₂ 的 Ti2p_{3/2} 和 Ti2p_{1/2} 的结合能为 459.0 和 464.8 eV, 而 TiONF 为 458.7 和 464.5 eV。由此可见掺杂 N、F 后使 Ti2p 结合能减小 0.3 eV, 这是因为 F 取代 TiO₂ 晶格氧位置产生多余的负电荷, 这种多余负电荷与 Ti⁴⁺ 结合形成 Ti³⁺, 从而减小 Ti-O-Ti 的结合能^[34]。从图 2(e) O1s 的高分辨率 XPS 谱, 可以看出 O1s 谱峰形状的不对称性, 说明样品中存在不同化学态的氧。按照结合能增加的顺序可依次解析出晶格氧(529.8 eV)和羟基氧(531.1 eV)2 个峰, 按峰面积大小计算出晶格氧和羟基氧的比例, 结果见表 1。可以看出, N、F 共掺杂提高了 TiO₂ 表面羟基氧数量, TiO₂ 晶格氧的比例降低。而表面羟基是光生空穴的捕获剂, 捕获光生空穴后可生成活性物种·OH 自由基, 它在吸附相和溶液相中都易引发物质的氧化反应, 从而提高光催化氧化效率^[35,36]。从表 2 催化剂表面酸度测定结果, 可以看出 N、F 共掺杂

表 1 TiO₂ 和 TiONF 催化剂羟基氧和晶格氧含量

Table 1 Amount of OH⁻ and O²⁻ of TiO₂ and TiONF catalysts

Catalyst	$n_{O^-} / \%$	$n_{OH^-} / \%$	$w_{OH^-} / w_{O^-} / \%$
TiO ₂	69.05	30.95	44.82
TiONF (1:0.10)	63.26	36.74	58.08
TiONF (1:0.25)	61.41	38.59	59.91
TiONF (1:0.50)	60.13	39.87	66.31

表 2 TiO₂ 和 TiONF 催化剂表面酸点的数量

Table 2 Amount of surface acid sites of TiO₂ and TiONF catalysts

$n_{Ti} \cdot n_{AF}$	TiO ₂	TiONF (1:0.10)	TiONF (1:0.25)	TiONF (1:0.50)
Amount of surface acid-site / (mmol·g ⁻¹)	0.065	0.089	0.110	0.125

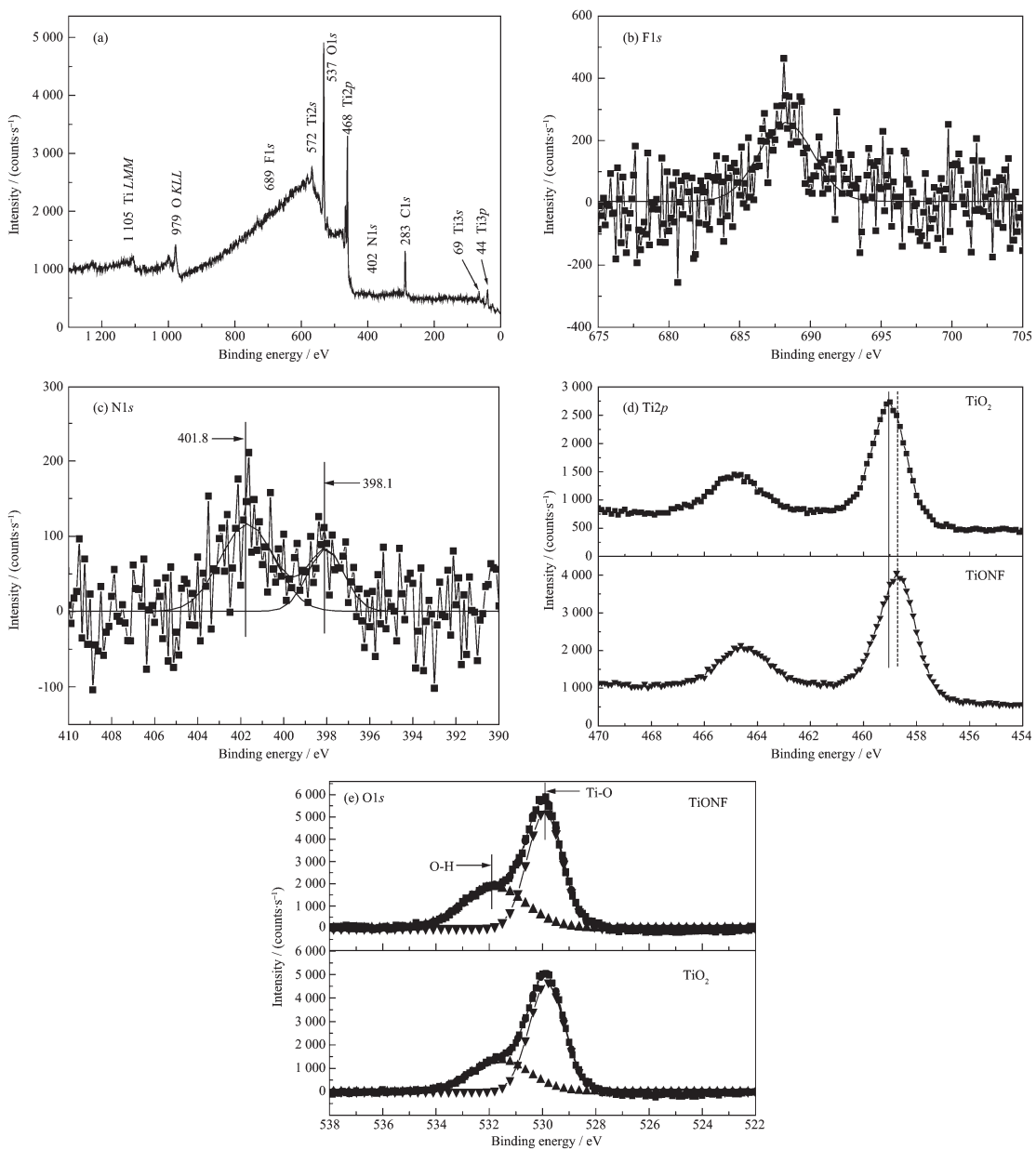


图1 纤维素模板剂合成 TiONF (a)、F1s (b)、N1s (c)、Ti2p (d) 和 O1s (e) 的 XPS 谱

Fig.1 XPS spectra of (a) TiONF (b) F1s (c) N1s (d) Ti2p and (e) O1s synthesis using cellulose template

表3 TiO_2 和 TiONF 催化剂的 XPS 元素含量分析结果

Table 3 XPS elements analysis results of TiO_2 and TiONF catalysts

$n_{\text{Ti}} \cdot n_{\text{AF}}$	$T / ^\circ\text{C}$	$n_{\text{Ti}} / \%$	$n_{\text{O}} / \%$	$n_{\text{N}} / \%$	$n_{\text{F}} / \%$
TiO_2	600	26.35	73.65	0.00	0.00
TiONF (1:0.10)	600	26.35	72.93	0.40	0.32
TiONF (1:0.25)	600	26.34	72.47	0.62	0.57
TiONF (1:0.50)	600	26.36	71.80	0.89	0.95
TiONF (1:0.25)	500	26.32	72.01	0.60	1.07
TiONF (1:0.25)	700	26.33	72.22	0.56	0.89
TiONF (1:0.25)	800	26.32	72.71	0.31	0.66
TiONF (1:0.25)	900	26.34	73.66	0.00	0.00

后 TiO₂ 粒子表面酸度有较大幅度的提高,且随 N、F 掺杂量的增大而增加。其原因可能是 F 掺杂促进 TiO₂ 粒子表面氧空穴的产生,致使 TiO₂ 粒子表面酸度与 Ti³⁺增加^[37],而 TiO₂ 粒子表面酸度与 Ti³⁺增加有利于减少电子-空穴复合率,从而提高其光催化活性^[37-38]。表 3 为催化剂的 XPS 元素分析结果。可以看出,各样品中 Ti 含量基本相同,随着 N、F 掺杂量的增加 TiO₂ 晶格的 O 含量明显减少;且晶格中 N、F 含量随焙烧温度的升高逐渐减少,当焙烧为 900 ℃时已检测不到 TiO₂ 晶格中的 N 和 F。

2.2 催化剂的 FTIR 分析

图 2 为 600 ℃焙烧制得 TiONF 催化剂的 FTIR 谱。图中主要在 3 450、1 630、1 070 和 480~680 cm⁻¹ 处出现 4 个吸收带。其中 3 450 和 1 630 cm⁻¹ 分别为表面吸附的水分子或 TiO₂ 催化剂表面 O-H 伸缩和弯曲振动峰,N、F 共掺杂可引起吸附水或羟基的伸缩振动特征峰增加、且变宽,可归因于掺杂 N、F 与 H 的相互作用^[28]。这进一步证实了 XPS 分析结

果,N、F 共掺杂后 TiO₂ 表面羟基数量增多。480~680 cm⁻¹ 为 Ti-O 伸缩振动峰,N、F 共掺杂后 Ti-O 伸缩振动特征峰变尖锐,且向低波数移动,同时在 1 070 cm⁻¹ 出现 Ti-O-N 特征吸收峰,且随掺杂量的增加吸收峰强度加强。Liu 等^[28,39]制备的 N 掺杂 TiO₂ 可见光催化剂 Ti-O-N 键的 FTIR 特征吸收峰出现在 1 059 cm⁻¹。而本文与之相比 Ti-O-N 吸收峰向高波速偏移,其原因可能是受晶格中电负性较强的 F 的影响,使 Ti-O-N 键的特征吸收峰向高波速偏移。

2.3 催化剂的 UV-Vis DRS 分析

图 3a 为 600 ℃焙烧制得不同 N、F 共掺杂量 TiONF 催化剂的 UV-Vis DRS 谱。可以看出,随着 N、F 掺杂量的增大 TiO₂ 在可见光区域的反射明显减弱,使参与光催化反应的光子数量增加。由 DRS 曲线的拐点可以看出,TiONF 催化剂的光吸收阈值发生改变:首先是在 387 nm 处锐钛矿相 TiO₂ 的特征吸收阈值发生蓝移且随 N、F 掺杂量的增加,蓝移量增大。其原因,一方面可能是受 Ti-O-N 化学键的作用,导致在载流子由 TiO₂ 价带向导带激发的过程中产生了附加势垒,电子激发所需能量增大^[40];另一方面可能是部分来自量子尺寸效应的影响,量子尺寸效应理论认为,半导体粒径越小,带隙越宽,吸收带边蓝移量越大,而 XRD 测试结果也证实了,随 N、F 掺杂量的增加,TiONF 晶粒子尺寸减小。其次是在 450~530 nm 处因 N、F 掺杂而产生第二个拐点,且随 N、F 掺杂量的增大第二拐点光吸收阈值向长波移动量增加。第二拐点的出现表明 TiO₂ 中出现新的能级结构。即 N、F 离子掺杂导致 TiO₂ 晶格发生局部微变,形成一个禁带宽度较小的新能级,而新能级在 $\lambda \geq 387$ nm 的光照射下就能发生电子跃

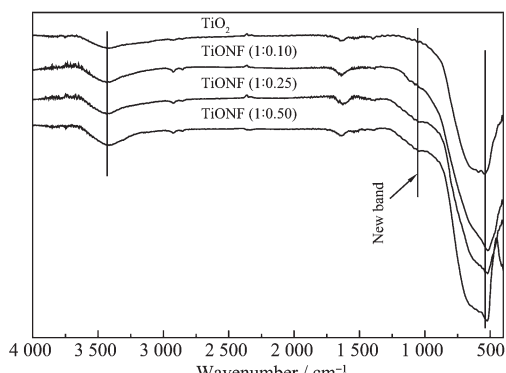


图 2 TiONF 催化剂的 FTIR 谱

Fig.2 FTIR spectra of TiONF catalysts

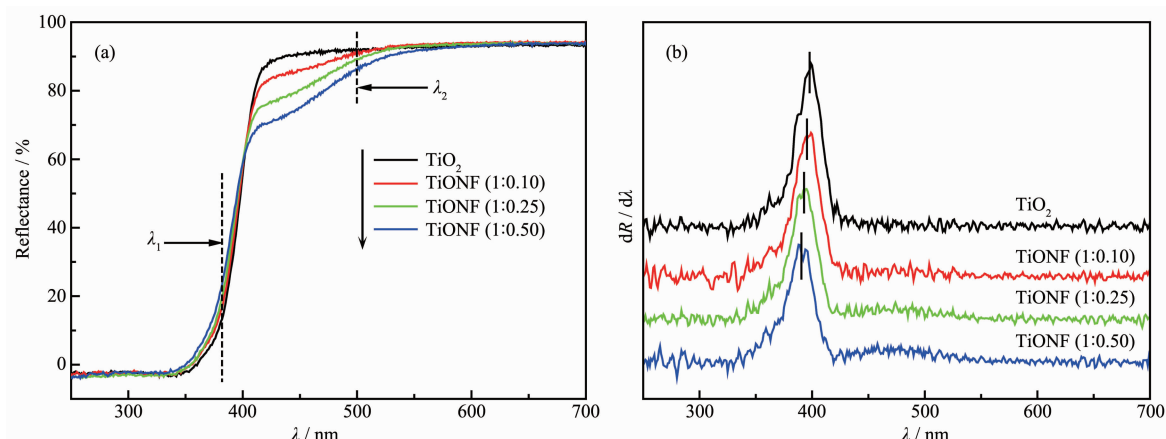


图 3 TiONF 催化剂的漫反射光谱(a)及其一阶求导图(b)

Fig.3 UV-Vis DRS spectra (a) and the first derivative of diffuse reflectance spectra (b) for TiONF catalysts

表4 TiONF 催化剂的物理性质
Table 4 Characteristics of TiONF catalysts

Sample $n_T:n_{AF}$	600 °C	Crystalline size / nm	$S_{BET} / (\text{m}^2 \cdot \text{g}^{-1})$	λ_1 / nm	E_{g1} / eV	λ_2 / nm	E_{g2} / eV
TiO ₂		23.1	132	392.7	3.158	—	—
TiONF-A		13.7	79	389.4	3.185	453.9	2.732
TiONF (1:0.10)		11.2	156	388.8	3.190	462.7	2.680
TiONF (1:0.25)		10.5	160	387.6	3.199	469.4	2.642
TiONF (1:0.50)		10.0	161	384.4	3.226	476.6	2.602

λ_1 : 1st adsorption edge; λ_2 : 2nd adsorption edge; E_{g1} : 1st energy gap; E_{g2} : 2nd energy gap.

迁。从 DRS 的一阶求导图(图 2 b)中可求出各条件下制备的 TiONF 催化剂的吸收阈值, 及以其为依据, 根据带隙能公式 $E_g=1240/\lambda$ 计算出的催化剂禁带宽度^[41], 结果见表 4。

2.4 催化剂的 XRD 分析

图 4 为以纤维素为模板剂不同温度下制得 TiONF 催化剂的 XRD 图。可以看出, 图中未出现因 N、F 共掺杂而引起锐钛矿或金红石相 TiO₂ 特征峰移动现象。TiONF 前驱体为无定型结构, 经 400 °C 焙烧就已基本转变为锐钛矿相; 经 600 °C 焙烧, 锐钛矿晶核生长趋于完善, 具有较高的结晶度; 900 °C 焙烧开始有少量金红石相(8.5%)出现。而相同条件下以纤维素为模板剂合成的 TiO₂ 经 500 °C 焙烧时金红石相(10.0%), 600 °C 焙烧金红石相(47.1%), 700 °C 焙烧已基本完全转变为金红石相^[26]。由此可见, N、F 共掺杂提高了锐钛矿相 TiO₂ 向金红石相转变的温度。N、F 共掺杂抑制 TiO₂ 金红石相生成的原因可能是^[32,42]: N、F 离子与 Ti⁴⁺生成配位体, 而这种配位

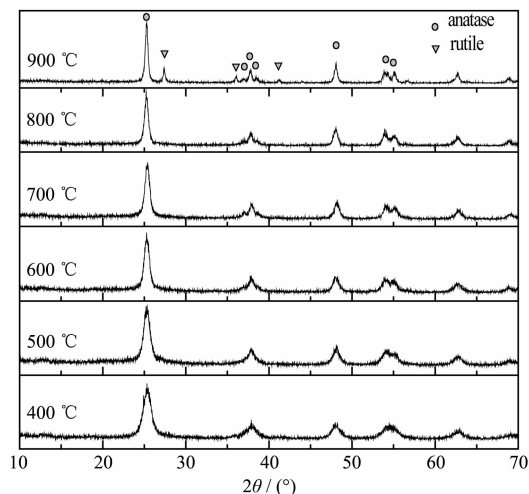


图 4 不同温度下制得 TiONF 催化剂的 XRD 图

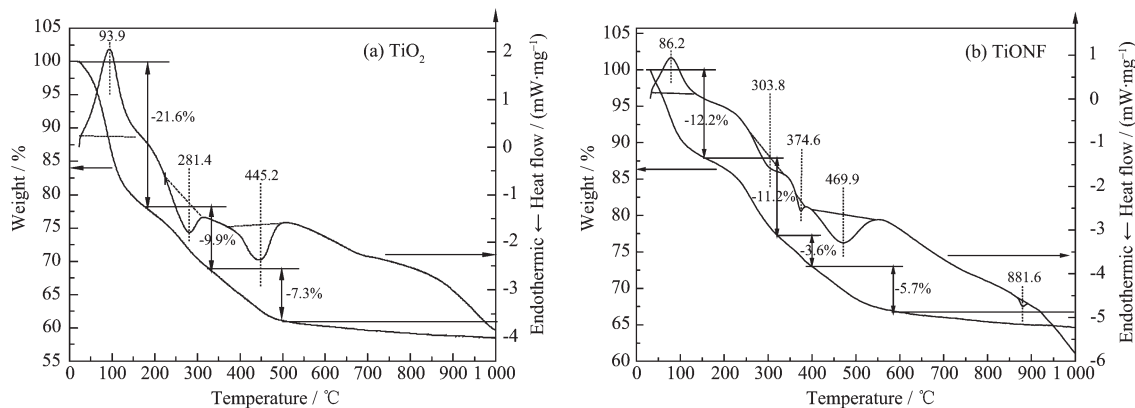
Fig.4 XRD patterns of TiONF with different temperatures

体的存在能阻止锐钛矿相 TiO₂ 八面体的螺旋形链向金红石相 TiO₂ 八面体的直链转变, 故而抑制了金红石相的生成。

2.5 催化剂的 TG/DSC 分析

图 5 为以纤维素为模板剂合成的 TiO₂ 及 TiONF 前驱体的 TG/DSC 分析曲线图。由图 5(a) DSC 曲线可见: TiO₂ 前驱体在 38~152 °C 吸热峰是由水和有机物的蒸发而产生, 在 223~310 °C 的放热峰是有机物燃烧所产生; 在 420~500 °C 的放热峰是锐钛矿相 TiO₂ 向金红石型转化过程的放热, 同时也包括了残余炭进一步氧化燃烧的放热峰。由图 5(b) DSC 曲线可见: TiONF 前驱体在 38~143 °C 处吸热峰是由水和有机物的蒸发而产生, 在 258~325 °C 处的放热峰是有机物的燃烧放热所产生; 在 361~385 °C 处放热峰是 TiO₂ 晶格中部分氧被 N、F 取代产生的放热; 在 401~541 °C 的放热峰是残余炭进一步氧化燃烧放热。在 870~891 °C 处小的放热峰是锐钛矿相 TiO₂ 向金红石型转化的过程而产生。由此可见, N、F 共掺杂提高了锐钛矿相 TiO₂ 向金红石相转变的温度, 这与 XRD 的测试结果一致。

由图 5 (a) TG 曲线可见: TiO₂ 前驱体的失重主要集中在 30~170 °C、170~320 °C 和 320~500 °C 3 个温度区间。分别为 TiO₂ 催化剂表面上物理吸附水和有机物挥发失重, 有机物燃烧失重, 残余炭的进一步氧化燃烧以及脱除 TiO₂ 催化剂体内的结合水失重^[26,43], 失重率为 21.6%、9.9% 和 7.3%。由图 5(b) TG 曲线可见: TiONF 前驱体的失重主要集中在 30~160 °C、160~320 °C、320~400 °C 和 400~580 °C 4 个温度区间。分别为 TiO₂ 催化剂表面上物理吸附水和有机物挥发失重, 有机物燃烧失重, 氟化铵的分解, 残余炭的进一步氧化燃烧以及脱除 TiO₂ 催化剂体内的结合水失重^[26,43], 失重率为 12.2%、11.2%、3.6% 和 5.7%。

图 5 以纤维素为模板剂合成 TiO₂ 及 TiONF 前驱体的 TG/DSC 曲线Fig.5 TG/DSC curves of TiO₂ (a) and TiONF (b) precursor with cellulose template

2.6 催化剂的 BET 比表面积及孔径分析

图 6 为无模板剂合成的 TiONF-A 前驱体及以纤维素为模板剂合成的 TiONF 前驱体经 600 °C 烧烧样品的 N₂ 吸附-脱附等温线和孔径分布图。由图 6(a)可知,2 种样品都具有Ⅳ型吸附-脱附等温线和滞后环。在相对压力较低时,吸附量随着相对压力升高而逐渐增加,此时 N₂ 分子以单层或多层吸附在孔内表面;当 N₂ 相对压力为 0.8 时,吸附量产生突跃,这是由于 N₂ 在介孔孔道中发生毛细凝聚所致,曲线中所形成滞后环说明催化剂存在介孔结构;当 N₂ 相对压力大于 0.95 时,吸附量基本不变,表明吸附已达到饱和。用 BJH 方法对吸附-脱附等温线进行计算,得到孔径分布曲线如图 6(b)所示。由图可知,以纤维素为模板剂合成的 TiONF 孔径主要分布在 2~9 nm 间,平均孔径 6.2 nm,总孔容积 0.27 cm³·g⁻¹;无模板剂合成的 TiONF-A 孔径主要分布在 1~8 nm 间,平均孔径 5.1 nm,总孔容积 0.20 cm³。

由 BET 计算结果见表 4,以纤维素为模板剂合成的 TiONF 催化剂的比表面积为 160 m²·g⁻¹,高于无模板剂合成 TiONF-A 催化剂的比表面积 79 m²·g⁻¹。由此可见,纤维素的加入使 TiONF 催化剂的孔径、孔容积和比表面积显著增加。

2.7 催化剂的 TEM 分析

图 7 为 600 °C 下制得无模板剂合成的 TiONF-A 及以纤维素为模板剂合成的 TiONF 催化剂的 TEM 照片。可以看出,以纤维素为模板剂合成的 TiONF 催化剂的颗粒分散性较好,颗粒较小,颗粒直径 10~15 nm。无模板剂合成的 TiONF 颗粒有团聚现象,且颗粒较大,颗粒直径 20~35 nm,由此可见纤维素的加入可以改善 TiONF 颗粒分布,减小 TiONF 颗粒团聚尺寸。而较小的粒度有利于受光激发产生的载流子迅速转移到 TiO₂ 颗粒表面参与光催化反应,降低了载流子复合几率,提高光催化反应量子效率^[44-45]。

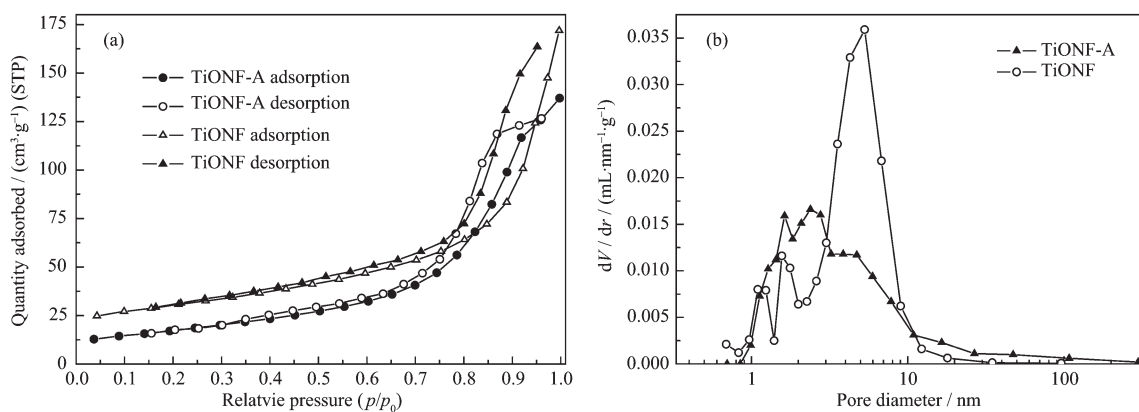


图 6 TiONF 催化剂的吸附等温线(a)及孔径分布图(b)

Fig.6 Nitrogen adsorption isotherms (a) and pore size distribution curves (b) for TiONF catalysts

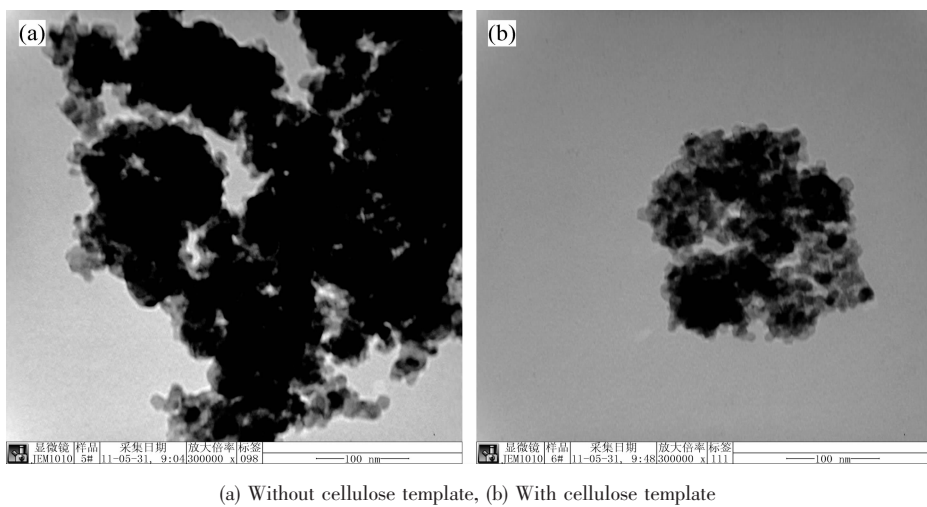


图 7 TiONF 光催化剂的 TEM 图

Fig.7 TEM images of TiONF

2.8 催化剂的活性

图 8 苯酚直接光解对照实验结果表明, 苯酚直接光解生成聚合物^[26], 在 270 nm 处吸光度增大。无光照条件下催化剂暗吸附试验表明, 催化剂对苯酚

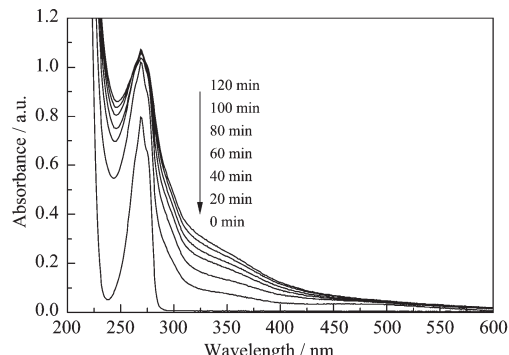


图 8 苯酚直接光解过程中吸光度的变化情况

Fig.8 Absorbance change during the direct photolysis of phenol

的吸附在 30 min 内几乎达到吸附平衡, 吸附时间继续增加时苯酚溶液的浓度不再发生变化。

从图 9a、10a 催化剂的可见光活性测试结果。可以看出, N、F 共掺杂后 TiO_2 的可见光催化活性显著提高, TiONF ($n_{\text{Ti}}:n_{\text{NF}}=1:0.25$, 600 °C 烧烧时活性最高, 反应 120 min, 苯酚完全去除; 而在相同条件下 TiO_2 -P-25 以及 TiONF-A 对苯酚去除率分别为 20.6%、12.9% 和 91.3%。另外, 结合 DRS 实验可知, 第二吸收阈值向长波方向移动并不能保证催化剂的可见光活性增加, 而是存在一个最佳值。其原因可能是^[46]: N、F 共掺杂后新形成的能级与体相 TiO_2 形成复合能级结构, 两者价带电势差可使 TiO_2 价带光生空穴向新形成能级迁移, 从而有效降低光生电子-空穴复合几率, 进而提高催化剂活性; 当 N、F 掺杂量增加时, 新形成的能级向上移动, 禁带宽度减小, 从而使跃迁到导带上的电子容易与新能级上的

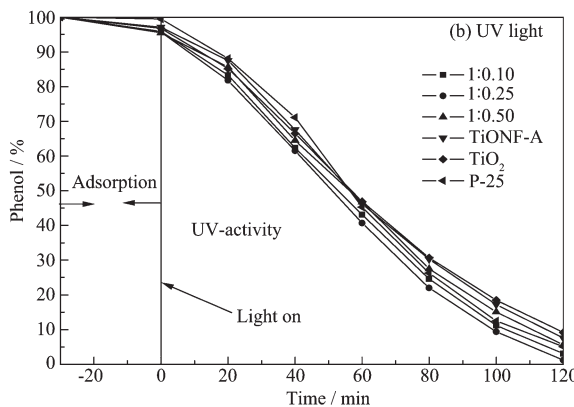
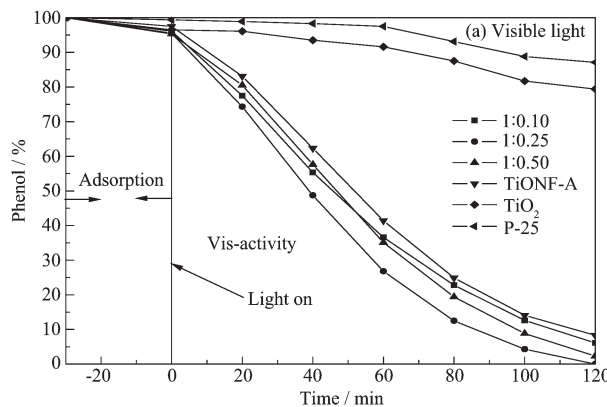


图 9 不同 N、F 掺杂量 TiONF 的光催化活性

Fig.9 Photocatalytic activity of TiONF with different N-F codopings

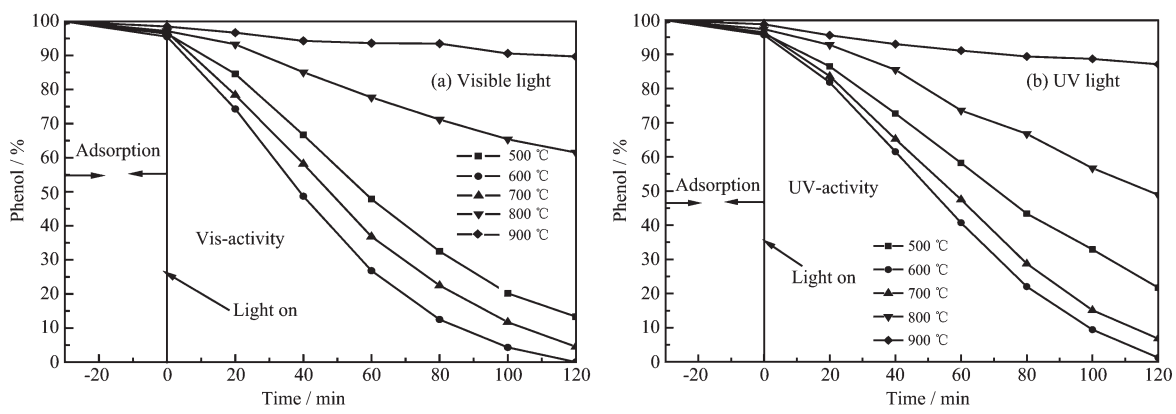


图 10 不同焙烧温度制得 TiONF 的光催化活性

Fig.10 Photocatalytic activity of TiONF calcinated at different temperatures

空穴复合,即 N、F 掺杂量过大时新形成能级成为电子-空穴的复合中心,从而使催化剂活性降低。图 9b、10b 催化剂紫外光活性测试结果表明,采用本方法制的适量 N、F 共掺杂的 TiONF 催化剂不仅在可见光区保持较高活性,其紫外光区活性亦高于 TiO₂、P-25 及 TiONF-A 催化剂。从图 11 太阳光活性实验可以看出,N、F 共掺杂后 TiO₂ 催化剂的活性显著提高,而 TiO₂ 和 P-25 对苯酚的去除率都 35% 以下。对照无模板剂合成的 TiONF-A 活性,发现以模板剂合成的 TiONF 在可见光区、紫外光区及太阳光下活性都高于无模板剂合成的 TiONF-A。由此表明,采用本方法制备的 N、F 共掺杂 TiO₂,不仅有利于拓展 TiO₂ 光响应范围,同时亦可有效提高催化剂紫外光区活性。

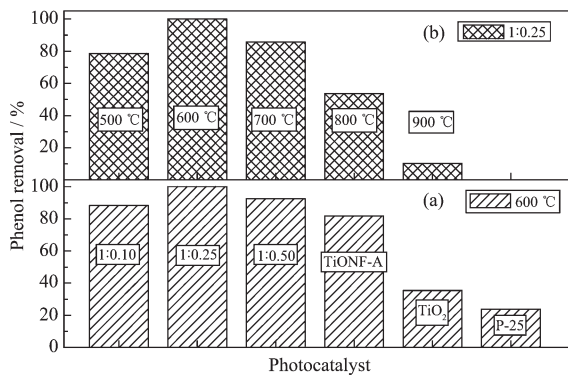


图 11 太阳光下 TiONF 的光催化活性: (a) 不同 N、F 掺量的 TiONF, (b) 不同焙烧温度制得 TiONF

Fig.11 Photocatalytic activity of TiONF under solar light
(a) TiONF with different N-F codopings
(b) TiONF calcinated at different temperatures

3 结 论

以生物可再生资源纤维素为模板剂,采用液相

水解-沉淀法制得浅黄色的 N、F 共掺杂可见光响应介孔 TiONF 催化剂。研究表明,以纤维素为模板剂合成适量 N、F 共掺杂的 TiONF 在紫外光区、可见光区及太阳光下均表现出较高的活性,且高于无模板剂合成 TiONF 的活性。N、F 共掺杂提高了 TiO₂ 表面羟基数量和锐钛矿相 TiO₂ 向金红石相转变的温度;N 掺杂形成新的能级结构,诱发 TiO₂ 可见光催化活性;F 掺杂促进 TiO₂ 粒子表面氧空穴产生,致使 TiO₂ 粒子表面酸度和 Ti³⁺增加,光催化活性提高。另外,纤维素的加入可减小 TiONF 颗粒平均尺寸,改善催化剂的分散性,提高催化剂比表面积。

参考文献:

- [1] Yu J G, Zhou M H, Cheng B, et al. *J. Mol. Catal. A: Chem.*, **2006**, *246*(1/2):176-184
- [2] Mori K, Maki K, Kawasaki S, et al. *Chem. Eng. Sci.*, **2008**, *63*(20):5066-5070
- [3] Bilgin V, Akyuz I, Ketenci E, et al. *Appl. Surf. Sci.*, **2010**, *256*(22):6586-6591
- [4] CHEN Ping(程萍), GU Ming-Yuan(顾明元), JIN Yan-Ping(金燕萍). *Chem. Prog.(Huaxue Jinzhan)*, **2005**, *17*(1):8-14
- [5] LU Wen-Shen(鲁文升), XIAO Guang-Sen(肖光参), LI Dan-Zhen(李旦振), et al. *Chinese J. Inorg. Chem.(Wuji Huaxue Xuebao)*, **2005**, *21*(10):1495-1499
- [6] Ihara T, Miyoshi M, Iriyama Y, et al. *Appl. Catal. B*, **2003**, *42*(4):403-409
- [7] Kim C, Choi M, Jang J. *Catal. Commun.*, **2010**, *11*(5):378-382
- [8] Lee S H, Yamasue E, Ishihara K N, et al. *Appl. Catal. B: Environ.*, **2010**, *93*(3/4):217-226
- [9] Cantau C, Pigot T, Dupin J C, et al. *J. Photochem. Photobiol. A*, **2010**, *216*(2/4):201-208
- [10] CHEN Yan-Min(陈艳敏), ZHONG Jin(钟晶), CHEN Feng

- (陈峰), et al. *Chin. J. Catal.(Cuihua Xuebao)*, **2010**,**31**(1):120-125
- [11]TANG Yu-Chao(唐玉朝), HUANG Xian-Huai(黄显怀), YU Han-Qing(俞汉青), et al. *Chem. Prog.(Huaxue Jinzhan)*, **2007**,**19**(203):225-233
- [12]CHEN Xiao-Yun(陈孝云), LU Dong-Fang(陆东芳), HUANG Jin-Feng(黄锦锋), et al. *Acta Phys.-Chim. Sin.(Wuli Huaxue Xuebao)*, **2012**,**28**(1):161-169
- [13]CHEN Xiao-Yun(陈孝云), LU Dong-Fang(陆东芳), LIN Shu-Fang(林淑芳). *Chin. J. Catal.(Cuihua Xuebao)*, **2012**,**33**(6):993-999
- [14]Li X K, Yue B, Ye J H. *Appl. Catal. A*, **2010**,**390**(1/2):195-200
- [15]Marques P A A P, Trindade T, Neto C P. *Compos. Sci. Technol.*, **2006**,**66**(7/8):1038-1044
- [16]Lu Q Y, Gao F, Komarneni S. *Chem. Mater.*, **2006**,**18**(1):159-163
- [17]Wang H T, Holmberg B A, Yan Y S. *J. Am. Chem. Soc.*, **2003**,**125**:9928-9929
- [18]ZHANG Zhi-Teng(张志腾), YANG Li-Ming(杨立明), WANG Yu-Jun(王玉军), et al. *Chem. Ind. Eng.(Huagong Xuebao)*, **2008**,**59**(10):2638-2643
- [19]ZENG Wei(曾威), WANG Jun-Ying(王俊影), DONG Lin(董琳), et al. *J. Tianjin University of Science & Technology (Tianjin Keji Daxue Xuebao)*, **2011**,**26**(1):31-35
- [20]Zhang L, Yan Z F, Qiao S Z, et al. *J. Mol. Catal. China*, **2008**,**22**:315-320
- [21]Li X S, Fryxell G E, Wang C M, et al. *Inorg. Chem. Commun.*, **2006**,**9**(1):7-9
- [22]Williford R E, Fryxell G E, Li X S, et al. *Microporous Mesoporous Mater.*, **2005**,**84**(1/3):201-210
- [23]Dujardin E, Blaseby M, Mann S. *J. Mater. Chem.*, **2003**,**13**(4):696-699
- [24]Zhou Y, Ding E Y, Li W D. *Mater. Lett.*, **2007**,**61**(28):5050-5052
- [25]LI Wei(李伟), ZHAO Ying(赵莹), LIU Shou-Xin(刘守新). *Chin. J. Catal.(Cuihua Xuebao)*, **2012**,**33**(2):342-347
- [26]CHEN Xiao Yun(陈孝云), CHEN Xing(陈星), HONG Shi-Wei(洪时伟), et al. *Chin. J. Catal.(Cuihua Xuebao)*, **2011**,**32**(11):1762-1767
- [27]Benesi H A. *J. Phys. Chem.*, **1957**,**61**:970-973
- [28]LIU Shou-Xin(刘守新), CHEN Xiao-Yun(陈孝云), CHEN Xi(陈曦). *Chin. J. Catal.(Cuihua Xuebao)*, **2006**,**27**(8):697-702
- [29]HUANG Dong-Gen(黄冬根), LIAO Shi-Jun(廖世军), DANG Zhi(党志). *Acta Chim. Sin.(Huaxue Xuebao)*, **2006**,**64**(17):1805-1811
- [30]LI Xiao-Hui(李晓辉), LIU Shou-Xin(刘守新). *Acta Phys.-Chim. Sin.(Wuli Huaxue Xuebao)*, **2008**,**24**(11):2019-2024
- [31]Pelaez M, Cruz A A, Stathatos E, et al. *Catal. Today*, **2009**,**144**(1/2):19-25
- [32]Li Y X, Jiang Y, Peng S Q, et al. *J. Hazard. Mater.*, **2010**,**182**(1):90-96
- [33]Ling Q C, Sun J Z, Zhou Q Y. *Appl. Surf. Sci.*, **2008**,**254**(10):3236-3241
- [34]Lin H, Kumon S, Kozuka H, et al. *Thin. Solid Films*, **1998**,**315**(1/2):266-272
- [35]Fox M A, Dulay M T. *Chem. Rev.*, **1993**,**93**(1):341-357
- [36]Hoffmann M R, Martin S T, Choi W Y, et al. *Chem. Rev.*, **1995**,**95**(1):69-96
- [37]SU Ya-Ling(苏雅玲), LI Yi(李轶), DU Ying-Xun(杜瑛珣), et al. *Acta Phys.-Chim. Sin.(Wuli Huaxue Xuebao)*, **2011**,**27**(4):939-945
- [38]Yu J C, Yu J G, Ho W K, et al. *Chem. Mater.*, **2002**,**14**(9):3808-3816
- [39]CHEN Xiao-Yun(陈孝云), LU Dong-Fang(陆东芳), ZHANG Shu-Hui(张淑慧), et al. *Chinese J. Inorg. Chem.(Wuji Huaxue Xuebao)*, **2012**,**28**(2):307-313
- [40]HUANG Lang-Huan(黄浪欢), CHEN Cai-Xuan(陈彩选), LIU Ying-Liang(刘应亮). *Chin. J. Catal.(Cuihua Xuebao)*, **2006**,**27**(12):1101-1106
- [41]Khan S U M, Al-Shahry M, Ingter W B. *Science*, **2002**,**297**(27):2243-2244
- [42]Li D, Haneda H, Labhsetwar N K, et al. *Chem. Phys. Lett.*, **2005**,**401**(4):579-584
- [43]BAI Bo(白波), ZHAO Jin-Lian(赵景联). *Chemistry(Huaxue Tongbao)*, **2005**,**10**:776-780
- [44]Choi E H, Hong S I, Moon D J. *Catal. Lett.*, **2008**,**123**(1/2):84-89
- [45]Zhang Z, Wang C, Zakaria R, et al. *J. Phys. Chem. B*, **1998**,**102**(52):10871-10878
- [46]CHEN Xiao-Yun(陈孝云), LIU Shou-Xin(刘守新). *Acta Phys.-Chim. Sin.(Wuli Huaxue Xuebao)*, **2007**,**23**(5):701-708